

آنتن پچ مایکرواستریپی پهن باند مینیاتوری با ساختار فراکتالی برای کاربردهای (۱۸۵۰-۱۹۹۰ MHZ) PCS

دانش آموخته کارشناسی ارشد مهندسی مخابرات، دانشگاه صنعتی سهند
استادیار دانشکده مهندسی برق و کامپیوتر، دانشگاه تبریز
استادیار مرکز تحقیقات مخابرات ایران

عبدالعزیز کلته
سعید نیکمهر
غلامرضا داداشزاده

چکیده

در این مقاله یک ساختار فراکتالی جدید، برای اولین بار معرفی شده است. با اعمال ساختار فراکتالی پیشنهادی بر روی آنتن پچ مربعی، میزان فشرده‌سازی بسیار خوبی در مقایسه با نتایج تحقیقات گزارش شده محققین دیگر بدست آمده است. برای جبران کاهش پهنای باند آنتن که در طی روند فشرده‌سازی ساختار حادث می‌شود، از تغذیه پروب-T استفاده شده است. به کارگیری این روش تغذیه، پهنای باند امپدانسی آنتن را به طور قابل ملاحظه‌ای افزایش می‌دهد و آن را برای کاربردهای PCS (Personal Communication Systems) در محدوده فرکانسی GSM1900 مناسب می‌سازد. اثر پارامترهای مختلف ساختار تغذیه بر روی مکان هندسی امپدانس ورودی آنتن نیز ارایه شده است. برای بررسی اعتبار نتایج حاصل از شبیه‌سازی، آنتن پیشنهادی ساخته شده و در آزمایشگاه آنتن مرکز تحقیقات مخابرات ایران (ITRC) مورد تست و اندازه‌گیری قرار گرفت. نتایج اندازه‌گیری به طور کامل نتایج شبیه‌سازی را تایید کردند.

کلمات کلیدی: آنتن پچ مایکرواستریپی، فراکتال، کاربردهای PCS

A Miniaturized Wideband Fractal Patch Antenna for PCS Applications (1850-1990 MHZ)

A. Kalteh	Sahand University of Technology
S. Nikmehr	Faculty of Electrical and Computer Engineering, University of Tabriz
G. Dadash Zadeh	Iran Telecom Research Center

Abstract

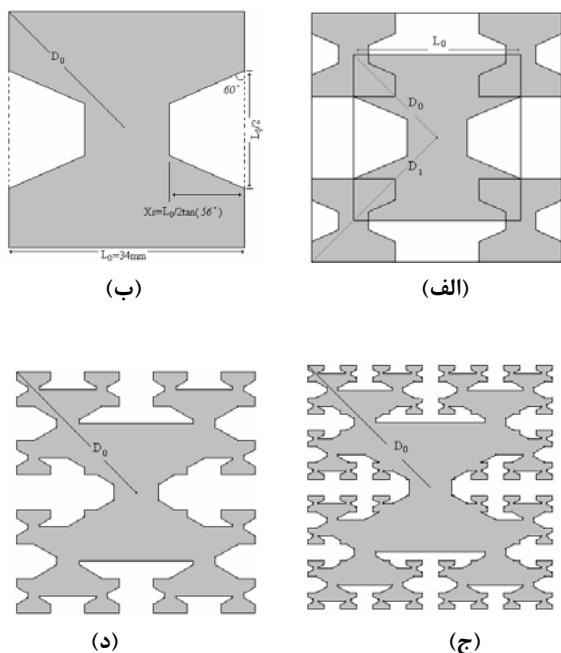
In this paper a novel fractal shape structure is introduced. Application of the proposed fractal shape to a square patch antenna represents a very good reduction size in comparison to the previously reported works. To compensate for the reduction in the antenna bandwidth, which occurs during the miniaturization process, the T-probe feeding method is used. By using this feeding method, the impedance bandwidth of the antenna is increased, which makes the antenna appropriate for PCS applications in the frequency range of GSM 1900. The effects of various parameters of the feed structure on the input impedance of the antenna are also presented in this paper. In order to validate the simulation results, the antenna was fabricated. The results of testing and measurements of the fabricated antenna in the antenna Laboratory of Iran Telecommunication Research Center (ITRC) verified the simulation results.

Key words: Microstrip patch antenna, Fractal, PCS applications.

۱- مقدمه

۲- تولید فراکتال و ساختار آتن

با ایجاد دو شیار دوزنقه‌ای شکل در وسط لبه‌های تشعشعی پچ مربعی، به صورتی که در شکل (۱-الف) نشان داده شده است، ساختار آغازگر به دست می‌آید. با اعمال تبدیل هندسی و کوچکسازی مقیاس مطابق روال فراکتالها، آتن پچ فراکتالی (FPA)، ایجاد می‌شود. روال ایجاد فراکتالها به این صورت است که، ابتدا چهار کپی از آغازگر با مقیاس 0.25° ایجاد می‌شود. سپس مرکز این کپی‌ها، در گوشش‌های پچ مربعی آغازگر قرار داده می‌شوند. به این ترتیب ساختار پیش-فراکتال (FPA-1) به دست می‌آید که در شکل (۱-ب) نشان داده شده است.



شکل ۱- مراحل ایجاد ساختار فراکتالی.(الف) آغازگر، (ب) تکرار اول فراکتال FPA-1. D_0 نصف- قطر آغازگر و D_1 نصف- قطر FPA-1 است. (ج) تکرار دوم فراکتال FPA-2 است. (د) تکرار سوم فراکتال FPA-3

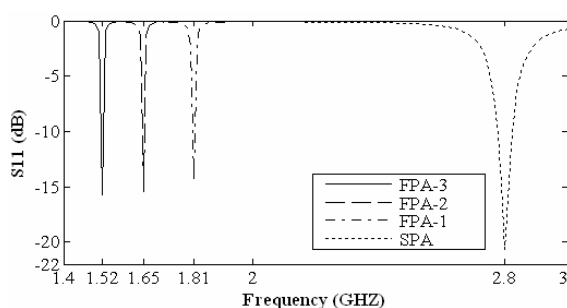
برای دستیابی به ساختار فراکتالی ایده‌آل، تکرار باید تا بی‌نهایت ادامه یابد اما برای کاربردهای آتنی به خاطر پیچیدگی ساختار، تعداد محدودی تکرار کفايت می‌کند [۲ و ۵]. بنابراین، برای هدف در نظر گرفته شده، تکرار در مرحله سوم و با پیش- فراکتال (FPA-3) به پایان می‌رسد. برای هر n تعداد

از مزایای آتن‌های پچ مایکرواستریپی می‌توان به سازگاری با MMIC‌ها (Microwave Monolithic Integrated Circuits) سادگی و آسانی ساخت اشاره نمود. اما این آتن‌ها دارای معایبی از جمله پهنانی باند باریک و ابعاد بزرگ در باند فرکانسی پایین می‌باشند. در حال حاضر، نیاز به آتن با ابعاد کوچک، به ویژه در تجهیزات مخابرات دستی افزایش یافته است. تکنیک‌های زیادی از جمله پین‌های اتصال کوتاه و پچهای پیچ و خمدار برای مینیاتوری کردن آتن پچ مورد بررسی قرار گرفته و استفاده می‌شوند [۱ و ۲].

فراکتال‌ها به عنوان یکی دیگر از روش‌های دستیابی به آتن‌های پچ مینیاتوری ارائه شده‌اند. در حالت کلی فراکتال‌ها اشکال غیر اقلیدسی هستند که دو خاصیت اصلی آنها خود- تشابه‌ی و نحوه فضا پرکنی منحصر به فرد آنها نسبت به شکل‌های اقلیدسی است. در کاربردهای آتنی، از خاصیت خود- تشابه‌ی فراکتالها برای دستیابی به آتن‌های با عملکرد چند بانده و از خاصیت فضا پرکنی منحصر به فرد آنها برای داشتن آتن‌هایی با اندازه کوچک استفاده می‌کنند [۳ و ۴]. در آتن‌های صفحه‌ای، فرایند فراکتال باعث می‌شود که طول مرزی یک مساحت محدود افزایش یابد. به خاطر این خاصیت، فراکتال‌ها به عنوان یک تکنیک مهم برای مینیاتوری کردن آتن پچ مورد توجه قرار گرفته‌اند [۵].

در این مقاله، یک ساختار فراکتالی جدید ارائه شده است. پیش-فراکتال حاصل از تکرار سوم روال ایجاد فراکتال، با تغذیه پروب T، به عنوان آتن پچ مینیاتوری پهن باند معرفی شده است. طراحی آتن شامل دو مرحله می‌باشد. ابتدا، آتن با استفاده از یک ساختار آغازگر جدید، ایجاد می‌شود. در این مرحله، آتن فراکتالی حاصل از تکرار سوم، بیش از $71/4\%$ نسبت به پچ مربعی، با همان مشخصات تشعشعی کوچکتر شده است. تنها ایجاد این روند کوچکسازی، کم شدن پهنانی باند آتن است که در مرحله دوم برای جبران آن از روش تغذیه پروب T استفاده شده است [۶]. با این روش پهنانی باند امیدانسی بیش از $15/0\%$ برای آتن فراکتالی در اندازه‌گیری به دست آمده است که آنرا برای کاربردهای PCS در محدوده فرکانسی $1850-1990\text{ MHz}$ مناسب می‌سازد.

فرض شده است. افت بازگشتی ورودی (S_{11} dB) پچ‌ها محاسبه و در شکل (۲) رسم شده است. همان‌گونه که از شکل مشخص است فرکانس رزنанс پچ‌ها با افزایش تعداد فراکتال‌ها کاهش یافته است. نتایج مربوط به کوچک شدن آتن، به طور خلاصه در جدول (۱) آمده است. با توجه به شیفت فرکانسی در تکرار سوم مشاهده می‌شود که اندازه آتن پیشنهادی نسبت به پچ مربعی بیش از $71/4\%$ کوچکتر شده است. این میزان کاهش در اندازه آتن به بهای از دست دادن پهنه‌ای باند به دست آمده است که این پدیده در ساختارهای فراکتالی دیگر نیز مشاهده شده است [۲ و ۵]. از آنجا که پهنه‌ای باند آتن پچ معمولی، ذاتاً کم و در حدود ۱ تا 2% می‌باشد، از دست دادن پهنه‌ای باند برای دستیابی به آتن مینیاتوری مناسب به نظر نمی‌رسد [۲].



شکل ۲- منحنی‌های افت بازگشتی ورودی حاصل از شبیه‌سازی آتن SPA و آتنهای فراکتالی FPA-3، FPA-2، FPA-1 در همه آتنهای فوق اندازه ضلع مربعی که آتن را در بر می‌گیرد برابر 34 mm است

برای کاربردهای PCS و دیگر کاربردهای پهن باند، فرقی نمی‌کند که آتن استفاده شده SPA یا FPA-3 است. در هر صورت باید روشی برای افزایش پهنه‌ای باند آتن انتخاب و به آن اعمال گردد. بنابراین اگر بتوان روشی برای افزایش پهنه‌ای باند SPA-3 ارائه داد می‌توان از این آتن مینیاتوری به جای آتن استفاده کرد زیرا علاوه بر کوچک شدن اندازه، دارای ابعاد مشابه SPA است (شکل ۳).

تکرار است، نصف قطر ساختار (D_n) شکل افزایش می‌یابد. برای مقایسه آسان نتایج، فرض می‌شود سطحی که شکلها را در بر می‌گیرد برابر آتن پچ مربعی (SPA) باشد. بنابراین در تکرار n ام، مساحت با ضریب مقیاس زیر فشرده می‌شود.

$$S_n = \frac{D_0}{D_n} \quad (1)$$

که $L_0 = \frac{\sqrt{2}}{2} D_0$ طول ضلع مربعی SPA است (شکل ۱-الف). همان‌گونه که از شکل معلوم است می‌توان D_n را به صورت فرمول (۲) نوشت

$$D_n = D_0 \sum_{i=1}^n \frac{1}{2^i} \quad (2)$$

که نصف قطر FPA-n است. بنابراین S_n مطابق رابطه زیر تعیین می‌شود.

$$S_n = \left(\sum_{i=1}^n \frac{1}{2^i} \right)^{-1} \quad (3)$$

در مورد ساختار آتن باید گفت که همه پچها بر روی یک زیرلایه RT/Duroid به ضخامت $1/575\text{ mm}$ ، ضریب گذردهی نسبی (ϵ_r) برابر $2/33$ و تانژانت تلفات $0.0005/0.0005$ چاپ شده است. زمین و پچ فراکتالی از جنس ورقه مسی استاندارد با ضخامت $17\text{ }\mu\text{m}$ و ضریب هدایت $S/m \times 10^7$ $5/8 \times 10^7$ انتخاب شده‌اند. تغذیه همه پچها توسط پروفت انجام شده است. طول ضلع پچ مربعی برابر 34 mm در نظر گرفته شده است که در فرکانس $2/8\text{ GHz}$ رزنанс می‌کند. برای مقایسه آسان، پچ مربعی که پچهای فراکتالی را در بر می‌گیرد نیز دارای ابعاد $34 \times 34\text{ mm}$ می‌باشد.

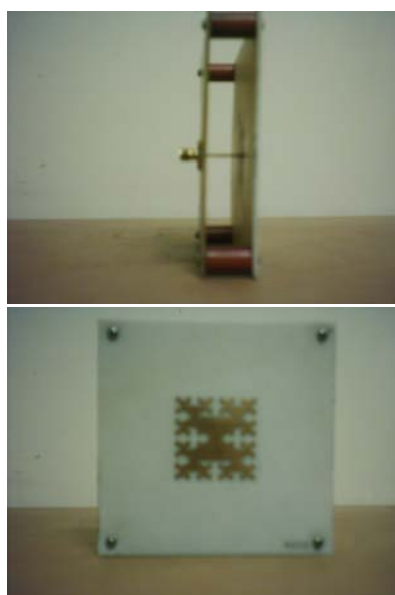
۳- نتایج و بهبود پهنه‌ای باند امپدانسی آتن‌های پچ FPA-1، FPA-2، SPA و FPA-3 با استفاده از بسته نرمافزاری IE3D که بر پایه روش مومنت می‌باشد، شبیه‌سازی شده‌اند. در شبیه‌سازی اندازه صفحه زمین بی‌نهایت

صفحه زمین قرار گرفته است، با وصل کردن هادی داخلی کابل کواکسیال به این نوار، ساختار تغذیه پروب T ایجاد می‌شود. برای افزایش پهنای باند، فاصله h_2 از جنس هوا و تقریباً برابر $(\lambda/10)$ انتخاب شده است [۸ و ۹].

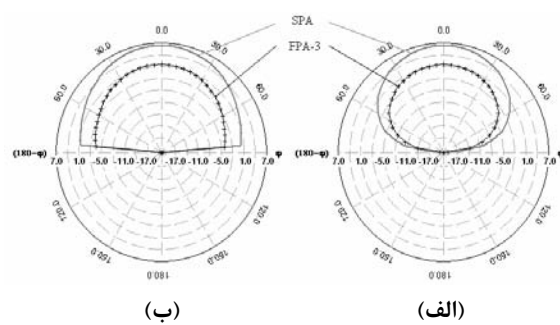
به خاطر این فاصله هوایی، ϵ_{eff} تقریباً برابر ۱ می‌شود که بر روی فرکانس رزونانس آنتن FPA-3، تأثیر گذاشته و آنرا از $1/52\text{GHz}$ به $1/84\text{GHz}$ شیفت می‌دهد. این بدان علت است که طبق رابطه (۴)، طول موج هدایت آنتن افزایش می‌یابد.

$$\lambda_g = \lambda_0 / \sqrt{\epsilon_{eff}} \quad (4)$$

از آنجا که این پدیده برای هر دو آنتن SPA و FPA-3 رخ می‌دهد، بنابراین قابلیت کوچکسازی فراكتال خدشهدار نمی‌شود. چون آنتن پچ مایکرواستریبی فراكتالی مذکور برای کاربردهای PCS در محدوده $1850\text{-}1990\text{MHz}$ کاربرد دارد مقدار $L_0 = 33/33\text{ mm}$ محاسبه شده است. برای بررسی اعتبار نتایج حاصل از شبیه‌سازی، آنتن پیشنهادی ساخته شد. شکل (۵) تصویر این آنتن ساخته شده را نشان می‌دهد. مراحل تست و اندازه‌گیری در آزمایشگاه آنتن و در اتاق بدون انعکاس مرکز تحقیقات مخابرات ایران (ITRC) انجام گرفت.

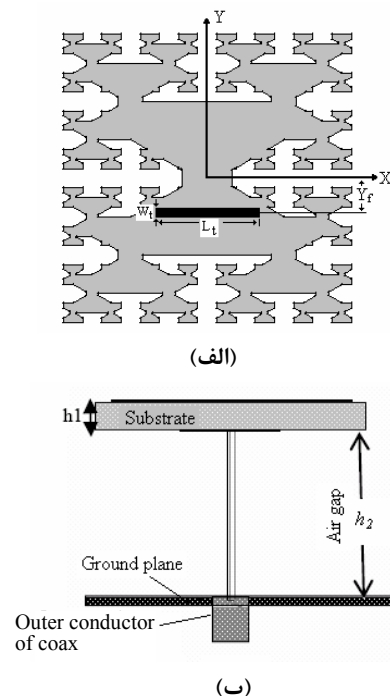


شکل ۵- تصویر آنتن ساخته شده از دو نمای مختلف



شکل ۳- پترن تشعشعی پچ فراكتالی SPA و FPA-3
(الف) دایرکتیویته در صفحه E، (ب) گین در صفحه H

برای افزایش پهنای باند ۳، FPA-3، تغذیه پروب T پیشنهاد می‌شود. آنتن پیشنهادی با این روش تغذیه در شکل (۴) نشان داده شده است.



شکل ۴- (الف) ساختار آنتن فراكتالی FPA-3 با تغذیه پروب-
نما از بالا، (ب) نمای آنتن از روی پروب

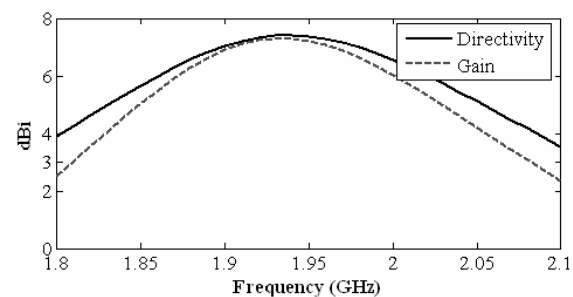
آنتن FPA-3 فوق بر روی زیرلايه RT/Duroid با مشخصات $\epsilon_r = 2.33$ و $h_1 = 1/575\text{ mm}$ ، $\tan \delta = 0.0005$ چاپ شده است. در زیر این زیرلايه، نوار فلزی مستطیلی به فاصله h_2 از

پروب T برابر $7 \times 15/0.7$ ٪ به دست آمده است. این میزان پهنهای باند، آنتن پیشنهادی را برای کاربردهای PCS قابل استفاده می‌سازد.

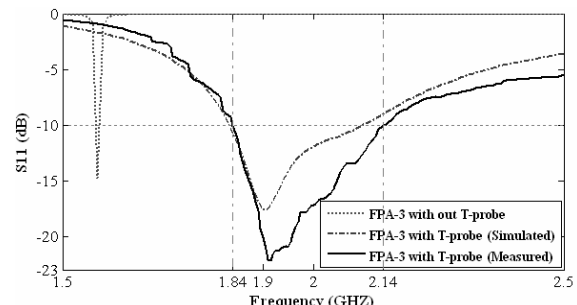
با تغییر محل تغذیه و ابعاد نوار T می‌توان به تطبیق امپدانسی خوب رسید. شکل شبیه‌سازی شده (۸-الف)، تغییرات مکان هندسی امپدانس ورودی آنتن در چارت اسمیت را بر حسب پارامتر L_t نشان می‌دهد. با توجه به شکل ملاحظه می‌شود که با کاهش طول نوار حلقة رزنанс به طرف پایین چارت شیفت می‌یابد و قسمت مرکزی حلقة نیز به سمت چپ حرکت می‌کند. این تغییر نشان می‌دهد که با کاهش طول نوار، امپدانس ورودی آنتن افزایش می‌یابد، در واقع نوار T به صورت یک اندوکتانس سری عمل می‌کند. در شکل (۸-ب) منحنی مکان هندسی امپدانس آنتن به ازای عرضهای مختلف نوار، W_t ، نشان داده شده است. همان طور که ملاحظه می‌شود، اثر افزایش عرض نوار تقریباً شبیه اثربخش است که افزایش طول نوار باعث آن می‌شود. به عبارت دیگر، افزایش ابعاد آنتن چه در جهت x و چه در جهت y اثر مشابهی بر روی امپدانس ورودی آنتن دارد. شکل (۸-ج) اثر تغییر محل تغذیه روی امپدانس ورودی آنتن را نشان می‌دهد. مشاهده می‌کنیم که با شیفت یافتن نوار T به سمت مرکز پچ، حلقة امپدانس کوچکتر می‌شود و به سمت چپ در نمودار اسمیت شیفت پیدا می‌کند. این رفتار امپدانس آنتن نشان می‌دهد که با شیفت دادن محل تغذیه به سمت مرکز پچ، امپدانس ورودی آنتن کوچکتر شده و پهنهای باند امپدانسی آنتن نیز کاهش می‌یابد. با توجه به منحنی‌های مندرج در شکل (۸) مقدار بهینه برای پارامترهای L_t ، W_t و Y_t به ترتیب ۱۲mm، ۴mm و ۱mm می‌باشد.

شکل (۹) پترن تشعشعی و بهره آنتن FPA-3 را در فرکانس $1/9\text{GHz}$ نشان می‌دهد. ملاحظه می‌شود که از شبیه‌سازی آنتن پیشنهادی، بهره‌ای برابر $6/6\text{dBi}$ و پهنهای پرتو نصف توان برابر با $26/4^{\circ}$ در صفحه E و برابر با $94/3^{\circ}$ در صفحه H به دست می‌آید. در اندازه‌گیری مقادیر پهنهای پرتو نصف توان در صفحه E تقریباً برابر $58/5^{\circ}$ و در صفحه H تقریباً برابر $79/4^{\circ}$ به دست آمد. بیشترین بهره اندازه‌گیری شده برای آنتن پیشنهادی تقریباً برابر $5/95\text{dBi}$ است.

شکل (۶) دایرکتیویته و بهره آنتن FPA-3 با تغذیه پروب T ساخته شده را بر حسب فرکانس نشان می‌دهد. منحنی‌های افت بازگشتی ورودی آنتن با تغذیه پروب T و بدون آن در شکل (۷) برای آنتن $33 \times 33 \times 33\text{mm}$ نشان داده شده است. این منحنی برای S_{11} با استفاده از تحلیلگر شبکه HP872ES به دست آمده است. همان گونه که از شکل مشهود است افزایش قابل توجهی در پهنهای باند به وجود آمده است.



شکل ۶- دایرکتیویته و گین آنتن FPA-3 با تغذیه پروب-T بر حسب فرکانس

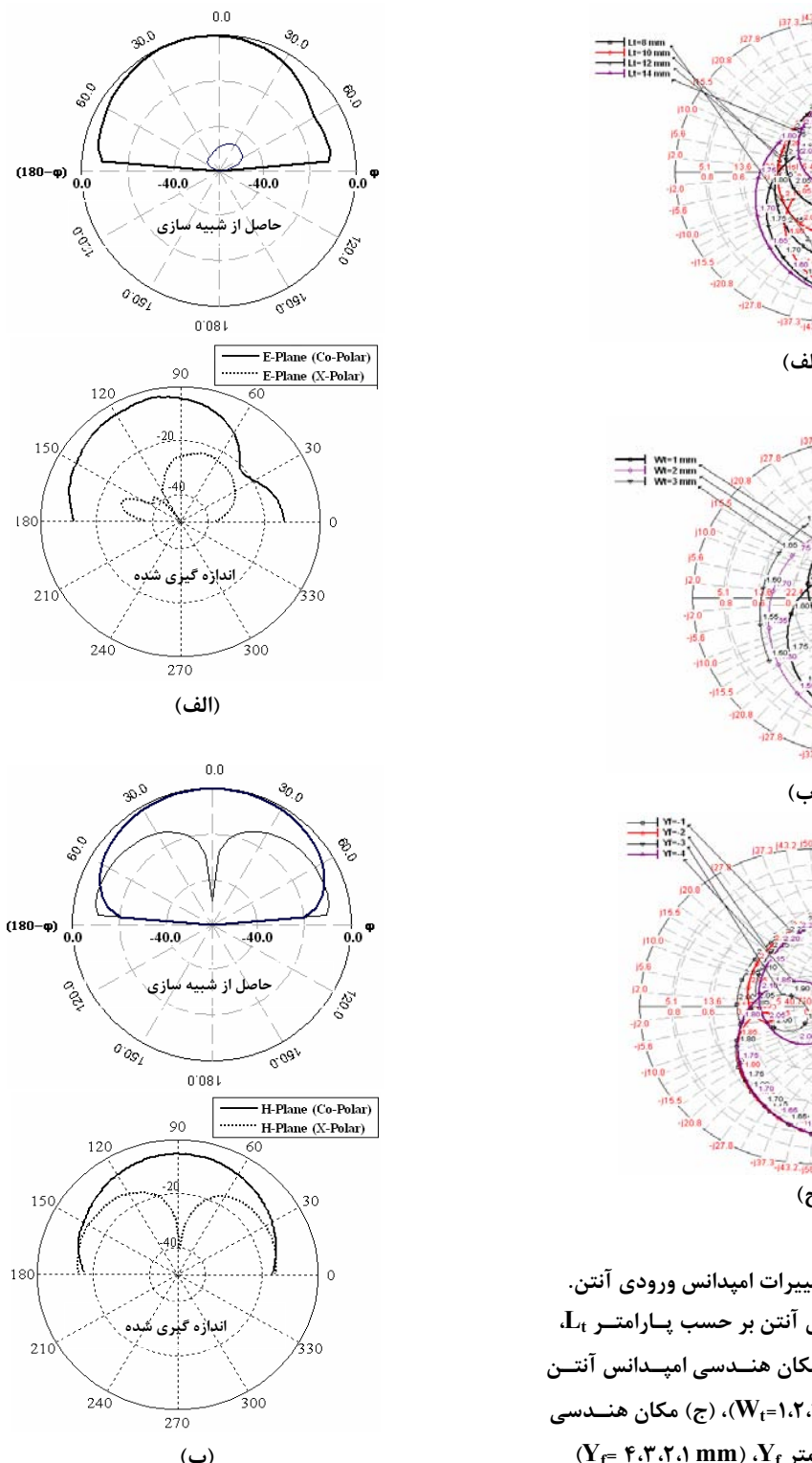


شکل ۷- منحنی‌های افت بازگشتی برای آنتن FPA-3 بر حسب فرکانس، با تغذیه پروب-T و بدون آن

محاسبه درصد پهنهای باند از رابطه (۵) به دست می‌آید:

$$BW\% = \left(2 \times \frac{f_H - f_L}{f_H + f_L} \right) \times 100 \quad (5)$$

که در آن f_H و f_L به ترتیب لبه‌های بالا و پایین فرکانس‌هایی هستند که در آنها S_{11} کوچکتر از -10dB است. با توجه به رابطه (۵)، پهنهای باند امپدانسی برای FPA-3 با تغذیه



شکل ۸- مطالعه پارامتری تغییرات امپدانس ورودی آتن.
 (الف) مکان هندسی امپدانس آتن بر حسب پارامتر L_t .
 (ب) مکان هندسی امپدانس آتن بر حسب پارامتر W_t .
 (ج) مکان هندسی امپدانس آتن بر حسب پارامتر Y_f .

شکل ۹- پترنهای تشعشعی حاصل از شبیه‌سازی و
 اندازه‌گیری برای آتن فرکتالی FPA-3 با تغذیه پروب-T در
 فرکانس $1.1/9 \text{ GHz}$. (الف) پترن تشعشعی و گین در صفحه E
 (ب) پترن تشعشعی و گین در صفحه H

جدول ۱- جدول مقایسه بین پچ مربعی و پچهای فراکتالی

آنتن پچ	آنتن پچ فراکتالی (FPA)	تعداد تکرار (n=۱،۲،۳)	فرکانس رزونانس (GHz)	درصد کاهش اندازه در مقایسه با پچ مربعی	پهنای باند امپدانسی BW% (SWR≤2)
آنتن پچ مربعی (SPA)	آنتن پچ فراکتالی (FPA)	-	۲/۸	%۰	%۱/۶
FPA-1		۱/۸۱	۱/۶۵	%۵۹/۳	%۰/۸
FPA-2		۱/۶۵	۱/۵۲	%۶۶/۲	%۰/۷۵
FPA-3		۱/۵۲		%۷۱/۴۶	%۰/۵۵

International Symposium on Electromagnetic Compatibility, 2003.

- [5] Carmen Borja and Jordi Romeu, "On the Behavior of Koch Island Fractal Boundary Microstrip Patch Antenna," IEEE transactions on antenna and propagation, vol. 51, no. 6, Jun. 2003.
- [6] C. L. Mak, K. F. Lee and K. M. Luk, "Broadband patch antenna with a T-shaped probe," IEE Proc-Microwave Antennas Propag., vol. 147, no 2, Apr. 2000.
- [7] Girish Kumar and K. P. Ray, Broadband Microstrip Antennas, ARTECH HOUSE, INC, 2003.
- [8] Ramesh Garg .et al., Microstrip Antenna Design Handbook, ARTECH HOUSE INC, 2001.

۴- نتیجه‌گیری

در این مقاله برای فشرده‌سازی آنتن پچ مربعی مایکرواستریپی یک ساختار فراکتالی جدید ارائه شد. مشخصات فراکتال تا تکرار سوم مورد بررسی قرار گرفت و ملاحظه شد که اندازه‌ی آنتن در تکرار سوم فراکتال، ۷۱/۴٪ کوچکتر شده است. برای افزایش پهنای باند امپدانسی، روش تعذیه پروب T به کار گرفته شد. با انتخاب مناسب پارامترهای ساختار تعذیه، پهنای باند ۰/۱۵٪ برای FPA-3 با فرکانس رزونانس ۱۹۱۵MHz به دست می‌آید. با توجه به میزان فشرده‌سازی و پهنای باند حاصل، آنتن پیشنهادی برای کاربردهای PCS در محدوده فرکانسی ۱۸۵۰-۱۹۹۰MHz کاملاً مناسب است. به دلیل جدید بودن ساختار و نبود داده‌ای در ادبیات موضوع برای مقایسه نتایج حاصل، آنتن پیشنهادی ساخته شده و در آزمایشگاه آنتن مرکز تحقیقات مخابرات ایران (ITRC) مورد تست و اندازه‌گیری قرار گرفت. نتایج اندازه‌گیری به طور کامل نتایج شبیه‌سازی را تایید می‌کنند.

مراجع

- [1] Kin- Lu Wong and Kai Chang, Compact and Broadband Microstrip Antennas, John Wiley & Sons, Inc 2002.
- [2] Gianvittorio, John P. and Yahya Rahmat-Samii, "Fractal Antennas: A Novel Antenna Miniaturization Technique and Applications," IEEE Antennas and Propagation Magazine, vol. 44, no 1, Feb. 2002.
- [3] Douglas H. Werner and Suman Ganguly, "an Overview of Fractal Antenna Engineering Research," IEEE Antennas and Propagation Magazine, vol. 45, no 1, Feb. 2003.
- [4] G. Tsachtsiris, et al., "A Reduced Size Fractal Rectangular Patch Antenna," IEEE